

I-120 スプライン帶板法を適用した円筒シエルの振動解析について

大同工業大学 正会員 水澤富作

1. はじめに シエルは、三次元構造であるが、Kirchhoff-Love の仮定を導入することにより、二次元構造として取り扱うことができる。ひずみ-変位の関係式への近似の導入により、種々のシエル方程式が提案されている。主なものを示すと、Donnell-Mushtari 理論、Koiter-Budiansky 理論、Sander 理論、Flüge 理論、Novozhilov 理論、Klasov 理論、Reissner-Naghdi-Berry 理論や Morley 理論があげられる。¹⁾ これらのシエルの基礎方程式は、一般に高次の偏微分方程式で与えられ、また面内挙動と面外挙動が連成するので、与えられる境界条件によっても大きな影響を受ける場合がある。シエルの振動解析には、種々の有限要素法や有限帶板法が用いられてきている。一方向に一様な円筒シエルでは、有限帶板法が有効な手法であると思われる。²⁾

本論文では、先に著者が提案したスプライン帶板法を用いて、Novozhilov のシエル理論に基づく円筒シエルの振動解析について述べる。本手法の収束性と精度について示すとともに、円筒シエルの振動性状に与える中心角や面内拘束の影響について解析を行っている。

2. スプライン帶板法による定式化 ここで、Novozhilov のシエル理論と有限帶板法の離散化概念に基づき、Fig. 1 に示すような円筒シエルの式の定式化を行う。円筒帶板の両端での境界条件を単純支持されるものと仮定すると、変位関数は、次式のように示される。

$$\begin{aligned} U(\theta, x) &= \sum_{m=1}^{i_0} \sum_{k=1}^r a_{mm} N_{m,k}(\theta) Y_m(x) \\ V(\theta, x) &= \sum_{m=1}^{i_0} \sum_{k=1}^r b_{mm} N_{m,k}(\theta) Y_m(x) \\ W(\theta, x) &= \sum_{m=1}^{i_0} \sum_{k=1}^r c_{mm} N_{m,k}(\theta) Y_m(x) \end{aligned} \quad (1)$$

ここで、 $i_0 = K + M_y - 1$, $\bar{Y}_m(x) = \cos m\pi x/L$,
 $Y_m(x) = \sin m\pi x/L$ であり、 $N_{m,k}(\theta)$ は、正規化された B-スプライン関数、 $K-1$ は、スプライン関数の次数である。 M_y は、帶板の要素数であり、 r は、経度項を示す。式(1)を書きかえると、次のように表わせる。

$$\begin{Bmatrix} U \\ V \\ W \end{Bmatrix} = \sum_{m=1}^{i_0} \begin{Bmatrix} \bar{Y}_m(x) & 0 & 0 \\ 0 & \bar{Y}_m(x) & 0 \\ 0 & 0 & \bar{Y}_m(x) \end{Bmatrix} \begin{Bmatrix} \{A\}_m \\ \{B\}_m \\ \{C\}_m \end{Bmatrix} \quad (2), \quad \text{ここで, } \bar{Y}_m = [N_{1,k}(\theta) \ N_{2,k}(\theta) \ \dots \ N_{r,k}(\theta)], \quad \{A\}_m^T = \{a_{1,m} \ a_{2,m} \ \dots \ a_{i_0,m}\} \text{ である。}$$

円筒シエルのひずみ-変位の関係式は、次式で定義される。

$$\begin{Bmatrix} \{\epsilon\} \\ \{\chi_b\} \end{Bmatrix} = \begin{Bmatrix} \epsilon_p \\ \chi_b \end{Bmatrix} = \begin{Bmatrix} \frac{\partial}{\partial x} & 0 & 0 \\ 0 & \frac{1}{R} \frac{\partial}{\partial \theta} & \frac{1}{R} \\ \frac{1}{R} \frac{\partial}{\partial \theta} & -\frac{\partial}{\partial x} & 0 \\ 0 & 0 & -\frac{\partial^2}{\partial x^2} \\ 0 & \frac{1}{R^2} \frac{\partial}{\partial \theta} & -\frac{1}{R^2} \frac{\partial^2}{\partial \theta^2} \\ 0 & \frac{2}{R} \frac{\partial}{\partial \theta} & -\frac{2}{R} \frac{\partial^2}{\partial \theta \partial x} \end{Bmatrix} \begin{Bmatrix} U \\ V \\ W \end{Bmatrix} \quad (3)$$

ただし、 $\{\epsilon_p\} = \{\epsilon_1 \ \epsilon_2 \ \epsilon_{12}\}$,
 $\{\chi_b\} = \{\chi_1 \ \chi_2 \ \chi_{12}\}$ で示される。

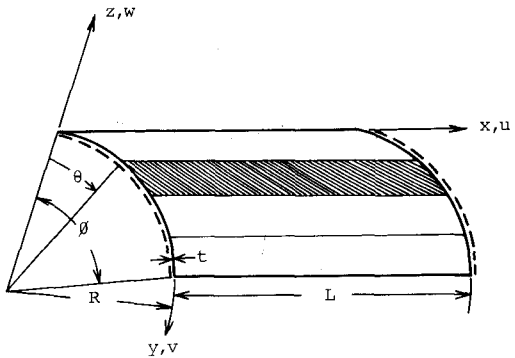


Fig. 1 Cylindrical shell

参考文献 (1) D. Bushnell, 'Computerized analysis of shells-governing equations', Compt. Struct., vol. 18, pp. 471-536 (1984). (2) D.J. Dawe, 'Static analysis....using a curved finite strip', IJNME, vol. 11, pp. 1347-1364 (1977). (3) 水澤、梶田, 土木学会論文報告集, No. 341, 1984.6. S. Peng-Cheng and W. Jian-Guo, IJNM for Partial Differential Equations (to appear).

また、応力-ひずみの関係式は、 $\{\epsilon\} = [D]\{\delta\}$ で与えられる。ここで、 $\{\delta\} = \{N_1, N_2, N_{12}, M_1, M_2, M_{12}\}$ で示される。また、

$$[D] = \frac{Et}{1-\nu^2} \begin{pmatrix} [d] & 0 \\ 0 & \frac{t^2}{12}[d] \end{pmatrix}, \quad [d] = \begin{pmatrix} 1 & \nu & 0 \\ \nu & 1 & 0 \\ 0 & 0 & \frac{1-\nu}{2} \end{pmatrix} \quad \text{--- (4)}$$

したがって、円筒シェルの振動数 π は、次式で与えられる。

$$\pi = \frac{1}{2} \int_0^{2\pi} \left\{ D \{E_p\}^T [d] \{E_p\} + D \{A_p\}^T [d] \{A_p\} \right\} R d\theta dx - \frac{Pt}{2} \omega^2 \int_0^{2\pi} (U^2 + V^2 + W^2) R d\theta dx \quad \text{--- (5)}$$

ここで、 $D' = Et^3/(1-\nu^2)$, $D = Et^3/12(1-\nu^2)$, ρ は密度, ω は円振動数である。

最小ポテンシャルエネルギーの原理より、式(5)を極値化することにより、次の剛性方程式が得られる。

$$\sum_{M=1}^r \sum_{S=1}^r \left(\begin{pmatrix} [K_{uu}] & [K_{uv}] & [K_{uw}] \\ [K_{vu}] & [K_{vv}] & [K_{vw}] \\ [K_{wu}] & [K_{vw}] & [K_{ww}] \end{pmatrix} \begin{pmatrix} \{A\} \\ \{B\} \\ \{C\} \end{pmatrix}_{MS} - n^* {}^2 \begin{pmatrix} [M_{uu}] & [M_{uv}] & [M_{uw}] \\ [M_{vu}] & [M_{vv}] & [M_{vw}] \\ [M_{wu}] & [M_{vw}] & [M_{ww}] \end{pmatrix}_{MS} \begin{pmatrix} \{A\} \\ \{B\} \\ \{C\} \end{pmatrix}_{MS} \right) = 0 \quad \text{--- (6)}$$

ただし、直交性の性質より、 $[K]_{ij}$, $[M]_{ij}$ は、 $i=j$ の場合には、すべて 0 になつた。 $n^* = \omega R \sqrt{P/E}$ である。

3. 数値計算例および考察 スプライン帶板法を用いて、種々の境界条件をもつ円筒シェルの振動数の収束性に与える帶板要素数, M_y とスpline次数, $k-1$ の影響について示し、また面内拘束条件の影響について検討を行つてある。Table 1 では、周辺単純支持された円筒パネル ($\phi = 30^\circ$, $L = 1.0$, $R = 1.91$, $t = 0.0191$, $\nu = 0.3$) の 5 次までの振動数パラメータ $n^* = \omega R \sqrt{P/E}$ の収束性に与えるスpline次数と帶板要素数の影響について示した。ここで、 M_y は 4 から 12 まで変化させ、 $k-1$ は、3 と 4 を仮定している。また、精度比較のため、有限帶板法を用いて求められた Cheung らの結果とエネルギー法を用いて得られた Peng-Cheng らの値⁴⁾も示されている。これより、帶板数を増大すると、高次の振動数まで安定した収束性が示され、他の数値解ともよく一致した結果が得られてゐる。

ただし、本手法による未知数の数は、 $3X(K+M_y-1)$

で与えられる。

Table 2 では、周辺単純支持された円筒シェルの直線線²の面内拘束による振動性状への影響について示した。ここで、単純支持モデルとして、4 フの場合を仮定した。SS2 ($w=0, u=0$) が、従来から用いられてゐる古典的境界条件を示す。これより、振動性状に与える面内拘束の影響は、依次モードにおいて顕著に示されている。

Table 1. Convergence study of frequency parameter, n^*
of simply supported cylindrical shell; $\phi = 30^\circ$,

$R=1.91, t=0.0191, L=1.0$ and $\nu=0.3$

Degrees of spline $k-1$	Number of strips M_y	Frequency parameters, n^*				
		n_{11}^*	n_{12}^*	n_{21}^*	n_{22}^*	n_{13}^*
3	4	0.2821	0.3028	0.5050	0.5243	0.6019
	6	0.2821	0.3010	0.5050	0.5233	0.5710
	10	0.2821	0.3010	0.5050	0.5233	0.5704
	12	0.2821	0.3010	0.5050	0.5233	0.5702
4	4	0.2821	0.3020	0.5050	0.5239	0.5828
	6	0.2821	0.3010	0.5050	0.5233	0.5716
	10	0.2821	0.3009	0.5050	0.5233	0.5701
	12	0.2821	0.3009	0.5050	0.5233	0.5701
FSM(flat strips)		0.285	0.305	0.512	0.530	0.573
FSM(curved strips)		0.277	0.277	0.466	0.493	0.542
Ritz method		0.2808	0.2999	0.5047	0.5227	0.5710

4. あとがき 本文で得られた主な結果を示すと、次のようになる。

(1) スpline次数と帶板要素の数を高めると、安定した収束性と精度が得られた。

(2) 円筒シェルの振動性状に与える面内拘束の影響は、依次モードにおいて、顕著にみられた。

(3) $\phi = 30^\circ$ の場合、SS2 ($w=0, u=0$) が、従来から用いられてゐる古典的境界条件を示す。

(4) $\phi = 60^\circ$ の場合、SS1 ($w=0$) が、従来から用いられてゐる古典的境界条件を示す。

Table 2. The effect of inplane boundary conditions on frequency parameters,
 n^* and mode numbers of simply supported cylindrical shell; $M_y=12$,
 $k-1=3$, $R=1.91$, $t=0.0191$, $L=1.0$ and $\nu=0.3$

ϕ	Boundary conditions	Modes			
		1	2	3	4
30°	SS1 ($w=0$)	0.2063 (1,1)	0.2914 (1,2)	0.4674 (2,1)	0.5012 (2,2)
	SS2 ($w=0, u=0$)	0.2821 (1,1)	0.3010 (1,2)	0.5050 (2,1)	0.5233 (2,2)
	SS3 ($w=0, v=0$)	0.3579 (1,1)	0.4497 (1,2)	0.5529 (2,1)	0.5805 (2,2)
	SS4 ($w=0, u=0, v=0$)	0.3606 (1,1)	0.4633 (1,2)	0.5598 (2,1)	0.5822 (2,2)
60°	SS1 ($w=0$)	0.2223 (1,1)	0.2364 (1,2)	0.2998 (1,3)	0.3775 (1,4)
	SS2 ($w=0, u=0$)	0.2430 (1,1)	0.2822 (1,2)	0.3016 (1,3)	0.4180 (1,4)
	SS3 ($w=0, v=0$)	0.2839 (1,1)	0.2932 (1,2)	0.4066 (1,3)	0.4140 (1,4)
	SS4 ($w=0, u=0, v=0$)	0.2843 (1,1)	0.2958 (1,2)	0.4079 (1,3)	0.4188 (1,4)

(i, j): i は長手方向(元方向)のモード次数, j は円周方向(引方向)のモード次数